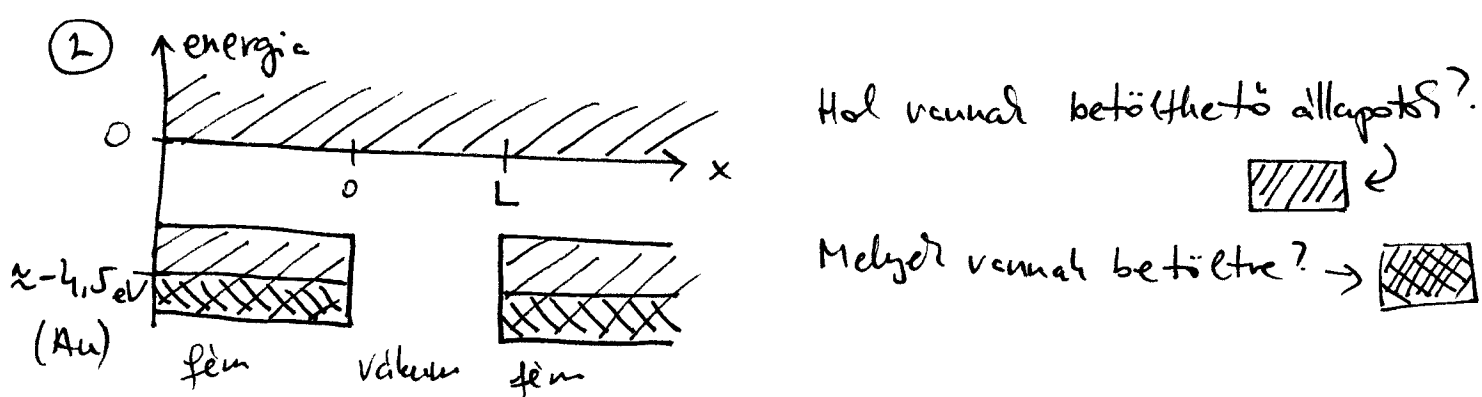
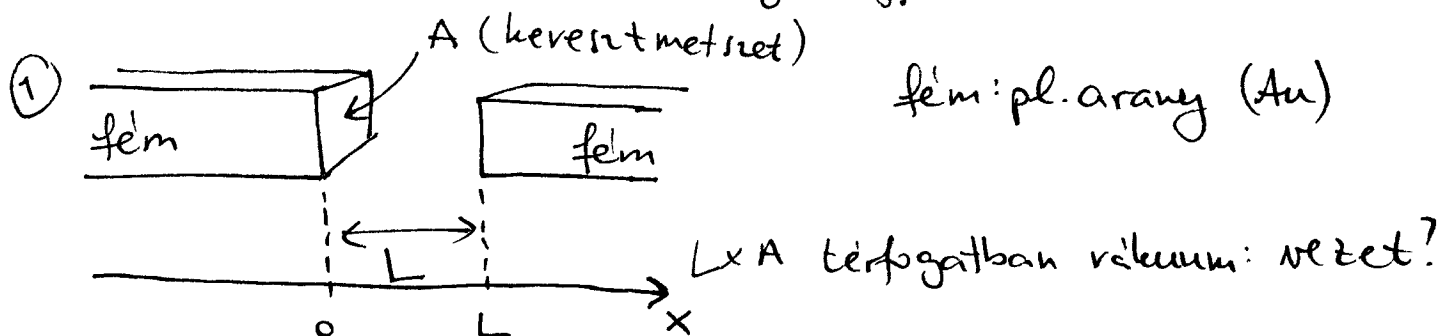


III/B Elektromos vezetés a vákuumon keresztül:

a kvantummechanikai alagút-effektus



③ átjuthat egy e^- $x < 0$ -ból $x > L$ -be? Klasszikus mechanika: nem
Kvantummech.: igen! Schrödinger-egyenletből: átjutás valószínűtlége

$$L_t = \frac{\pi}{2\sqrt{2m_e V_0}}$$

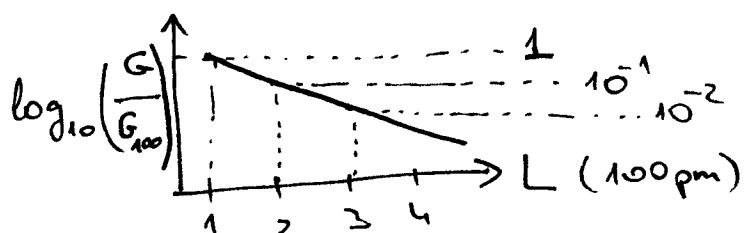
$$P_{\text{átjut}} \approx e^{-L/L_t}$$

'kilépési munka', 'köteles energia'; $V_0(\text{Au}) \approx 4,5 \text{ eV}$

④ 'Quantum tunneling', 'alagúteffektus'!

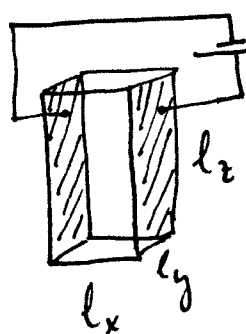
L_t : 'alagutazási hossz': $L_t(\text{Au}) \approx 46 \mu\text{m}$.

⑤ Kör: L -et $100 \mu\text{m}$ -rel növeljük $\rightarrow P_{\text{átjut}}$ kb. $\frac{1}{10}$ -ére csökken $\rightarrow G = \frac{1}{R}$ kb. $\frac{1}{10}$ -ére csökken.



III/c Atomi pontos mechanikai szabályozás piezoelektromosan

① anyag: PZT, $\text{Pb}[\text{Zr}_x \text{Ti}_{1-x}] \text{O}_3$ ($0 \leq x \leq 1$)



$V_{\text{piezo}} \rightarrow$ el. ferz. hatására megnagylik/összeküszölik

$$l_x = l_y = 3,5 \text{ mm}$$

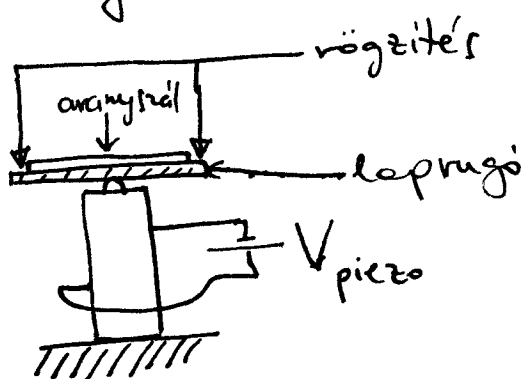
$$l_z = 18 \text{ mm}$$

$$\Delta l_z = \tilde{\eta} \cdot V_{\text{piezo}}$$

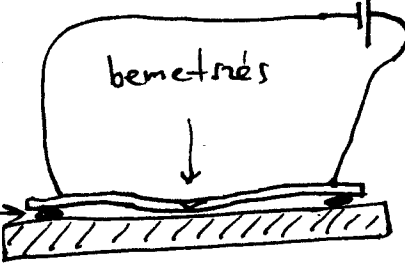
$$160 \frac{\text{nm}}{\text{V}}$$

$$V_{\text{aramy}} (=100 \text{ mV})$$

② aranyval szabítása



ragasztás



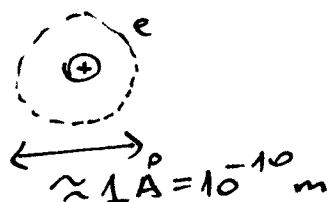
leprugó

aranyval · hossz $\sim 100 \text{ cm} \equiv$ taraug
átmérő $\sim 100 \mu\text{m}$

③ átlét: kb $\times 100$, pl. $V_{\text{piezo}} = 1 \text{ V} \rightarrow \Delta l_z = 160 \text{ nm} \rightarrow \Delta l_{\text{aramy}} = 1,6 \text{ nm}$

mV feszültség - szabályozás $\rightarrow pm = 10^{-12} \text{ m}$ pozíció-szabályozás

Emlékeztető: H-atom:

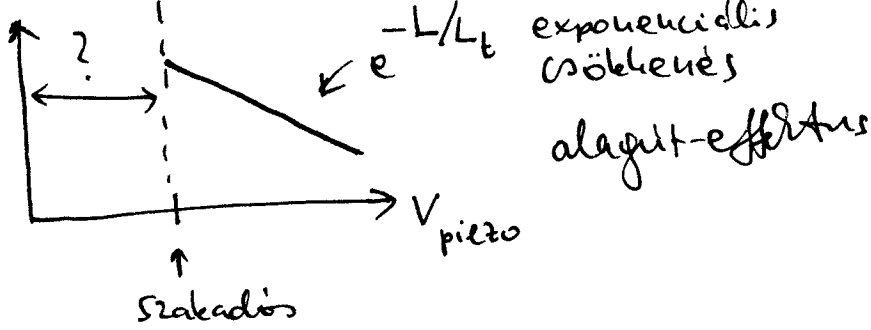


④ vezetőképesség - egység: 'vezetőképesség - kvantum', $G_0 = \frac{2e^2}{h} \approx 77 \mu\text{S}$

$$R_0 \equiv \frac{1}{G_0} \approx 12,9 \text{ k}\Omega$$

⑤ kísérlet:

$$\log \left(\frac{G}{G_0} \right)$$



⑥ emlékeztető: makroszkopikus és mikroszkopikus Ohm-törvény:

$$I = G \cdot U \quad j = \underline{G} \cdot \underline{E} \Leftrightarrow j_\alpha = \sum_{\beta \in \{x, y, z\}} \tilde{d}_{\alpha\beta} E_\beta \quad (\alpha \in \{x, y, z\})$$

elektromos tér \rightarrow elektromos áram; lineáris reláció

⑦ Piezoelektronikai hatás mikroszkopikus leírása:

mechanikai deformáció \rightarrow elektromos tér

$u(x)$
elmoduláster

$$E_\alpha = \sum_{\beta, \gamma} d_{\alpha\beta\gamma} E_\beta$$

$$\text{mech. def. tenzora, } \tilde{\epsilon}_{\alpha\beta} = \frac{1}{2} \left(\frac{\partial u_x}{\partial x_\beta} + \frac{\partial u_\beta}{\partial x_\alpha} \right)$$

piezoelektronikai tenzor

Invert piezoelektronikai hatás

elektromos tér \rightarrow mechanikai deformáció

$$\tilde{\epsilon}_{\alpha\beta} = \sum_\gamma \tilde{d}_{\alpha\beta\gamma} E_\gamma$$

invert piezoelektronikai tenzor

⑧ makro-mikros kapcsolat? ld pl ①; $\tilde{d}_{zzx} = ?$

$$\tilde{d}_{zzx} = \frac{\epsilon_{zz}}{E_\gamma} = \frac{\Delta l_z / l_z}{V_{\text{piezo}} / l_x} = \tilde{\eta} \cdot \frac{l_x}{l_z} \approx 30 \frac{\text{nm}}{\text{V}}$$

$$(\text{analógiá: } S = \frac{A \cdot R}{L})$$

anyagi (mikroszkopikus) paraméter	műtéára jellemző (makroszkopikus) paraméter
---	---

⑨ piezo & invert piezo

együtt jár, és

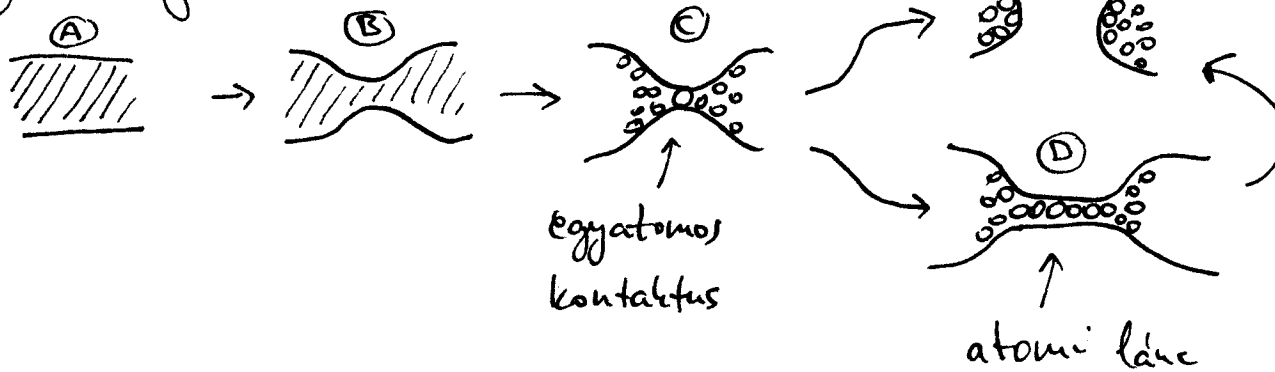
$$\tilde{d} = d^{-1}$$

S, G	R, G
d, \tilde{d}	$\eta, \tilde{\eta}$

⑩ piezo anyagai: szigetelők

hisz fémben $E = 0$.

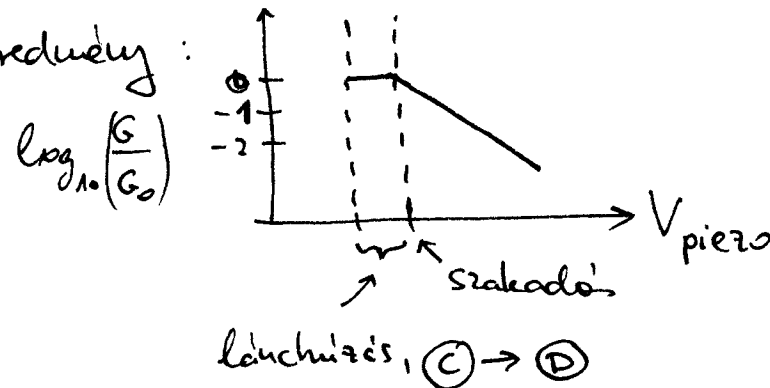
⑪ aranyról, szakítás közben



⑫ elrendezés neve : MCBJ, mechanically controlled break junction
mechanikailag vezérelt törlőkontaktus

⑬ egyatomos kontaktus, atomi lánc arányban: $G \approx G_0$

→ tipikus kísérleti eredmény :



⑭ piezo alkalmazásai

szensor (piezo)	aktivátor (inert piezo)
(öngyűjtő)	MCBJ
mikrofon	hangszórók
ultrahang-detektor	motorok nyomtaték